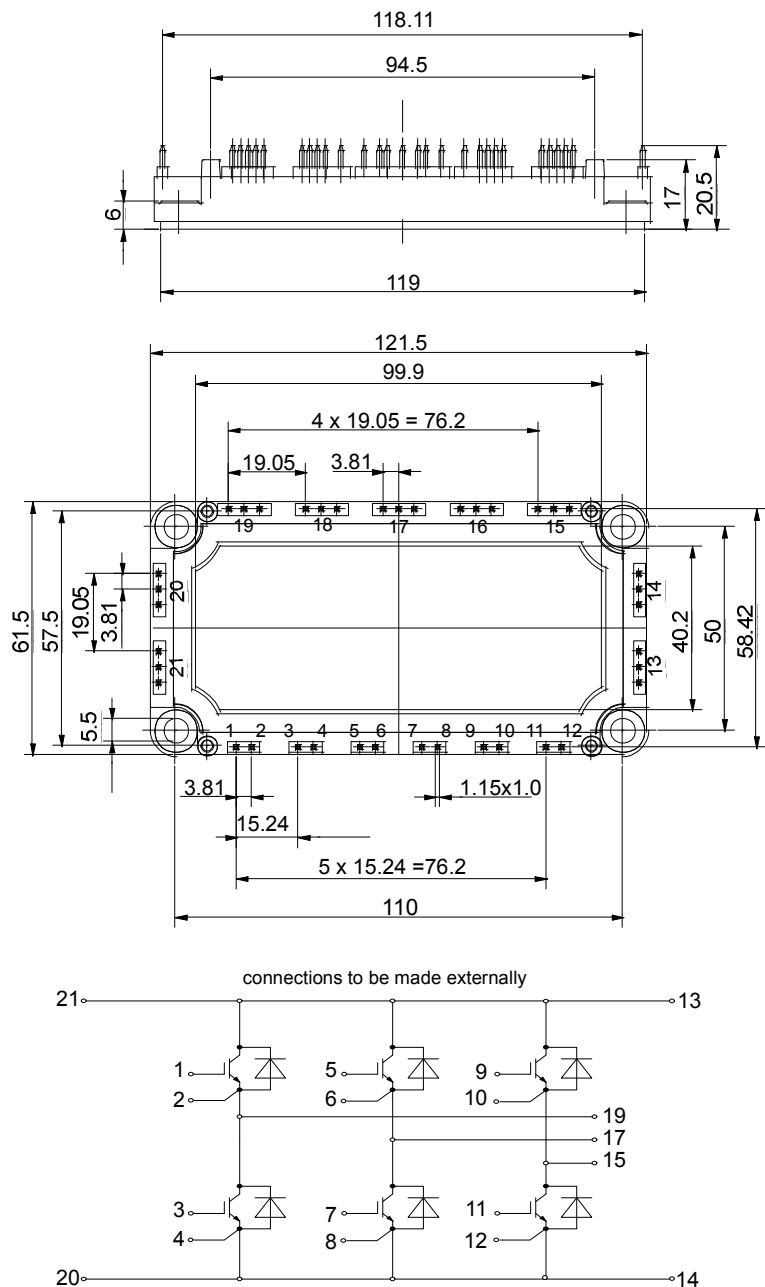


European Power-
Semiconductor and
Electronics Company

Marketing Information BSM 75 GD 170 DL



BSM 75 GD 170 DL

Höchstzulässige Werte / Maximum rated values Elektrische Eigenschaften / Electrical properties

			vorläufige Daten preliminary data
Kollektor-Emitter-Sperrspannung	collector-emitter voltage	V_{CES}	1700 V
Kollektor-Dauergleichstrom	DC-collector current	$I_{C,nom.}$	75 A
Periodischer Kollektor Spitzenstrom	repetitive peak collector current	I_C	150 A
Gesamt-Verlustleistung	total power dissipation	I_{CRM}	150 A
Gate-Emitter-Spitzenspannung	gate-emitter peak voltage	P_{tot}	625 W
Dauergleichstrom	DC forward current	V_{GES}	± 20 V
Periodischer Spitzenstrom	repetitive peak forw. current	I_F	75 A
Grenzlastintegral der Diode	I^2t - value, Diode	I_{FRM}	150 A
Isolations-Prüfspannung	insulation test voltage	I^2t	1800 A ² s
Charakteristische Werte / Characteristic values: Transistor			V_{ISOL}
Kollektor-Emitter Sättigungsspannung	collector-emitter saturation voltage	$V_{CE\ sat}$	3,4 kV
Gate-Schwellenspannung	gate threshold voltage	min.	2,7
Eingangskapazität	input capacitance		3,2
Kollektor-Emitter Reststrom	collector-emitter cut-off current	typ.	- V
Gate-Emitter Reststrom	gate-emitter leakage current	$V_{GE(th)}$	4,5
Einschaltverzögerungszeit (induktive Last)	turn-on delay time (inductive load)	C_{ies}	5 nF
Anstiegszeit (induktive Last)	rise time (inductive load)	I_{CES}	0,03 mA
Abschaltverzögerungszeit (ind. Last)	turn off delay time (inductive load)	I_{GES}	2 mA
Fallzeit (induktive Last)	fall time (inductive load)	$t_{d, on}$	- 100 nA
Einschaltverlustenergie pro Puls	turn-on energy loss per pulse	t_r	0,1 µs
Abschaltverlustenergie pro Puls	turn-off energy loss per pulse	$t_{d, off}$	0,1 µs
Kurzschlußverhalten	SC Data	t_f	0,1 µs
Modulinduktivität	stray inductance module	t_f	0,1 µs
Charakteristische Werte / Characteristic values: Diode			
Durchlaßspannung	forward voltage	E_{on}	0,03 mWs
Rückstromspitze	peak reverse recovery current	E_{off}	37 mWs
Sperrverzögerungsladung	recovered charge	I_{SC}	22 mWs
Abschaltenergie pro Puls	reverse recovery energy	L_{SCE}	300 A
Innerer Wärmewiderstand	thermal resistance, junction to case	V_F	2,6 V
Übergangs-Wärmewiderstand	thermal resistance, case to heatsink	I_{RM}	- V
Höchstzul. Sperrsichttemperatur	max. junction temperature	Q_r	55 A
Betriebstemperatur	operating temperature		85 A
Lagertemperatur	storage temperature	E_{rec}	9 µAs
Mechanische Eigenschaften / Mechanical properties			19 µAs
Innere Isolation	internal insulation		3,5 mWs
Kriechstrecke	creepage distance		6,5 mWs
Luftstrecke	clearance		
CTI	comparative tracking index		
Anzugsdrehmoment f. mech. Befestigung	mounting torque	max.	225
Gewicht	weight	G	5 Nm
			300 g

Mit dieser technischen Information werden Halbleiterbauelemente spezifiziert, jedoch keine Eigenschaften zugesichert. Sie gilt in Verbindung mit den zugehörigen Technischen Erläuterungen.
This technical information specifies semiconductor devices but promises no characteristics. It is valid in combination with the belonging technical notes.

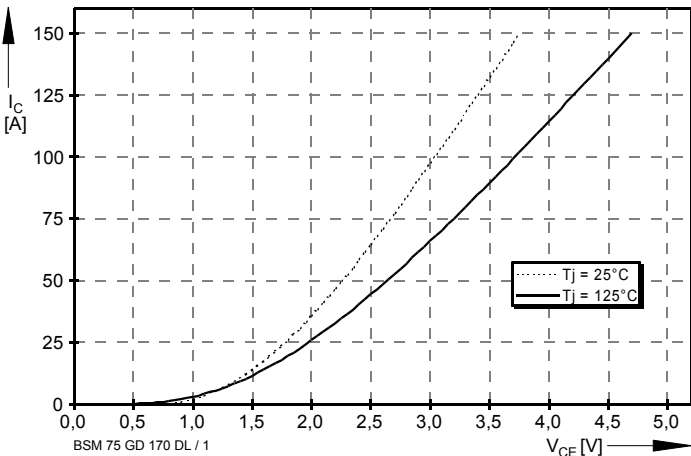


Bild / Fig. 1
Ausgangskennlinie (typisch) /
Output characteristic (typical)
 $I_C = f(V_{CE})$
 $V_{GE} = 15V$

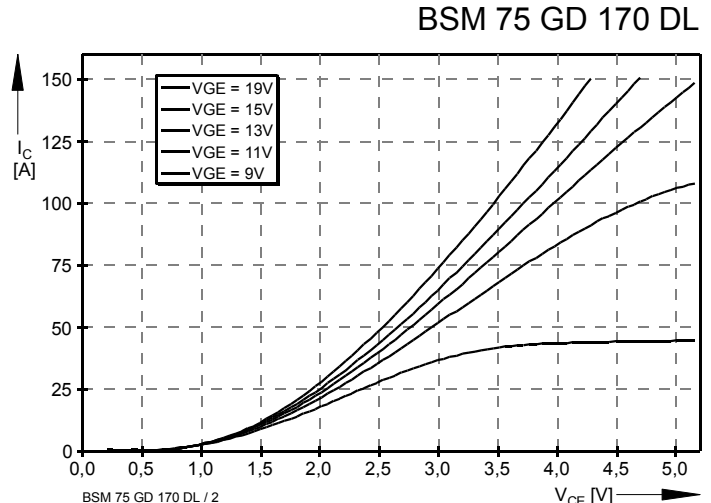


Bild / Fig. 2
Ausgangskennlinienfeld (typisch) /
Output characteristic (typical)
 $I_C = f(V_{CE})$
 $T_{vj} = 125^{\circ}C$

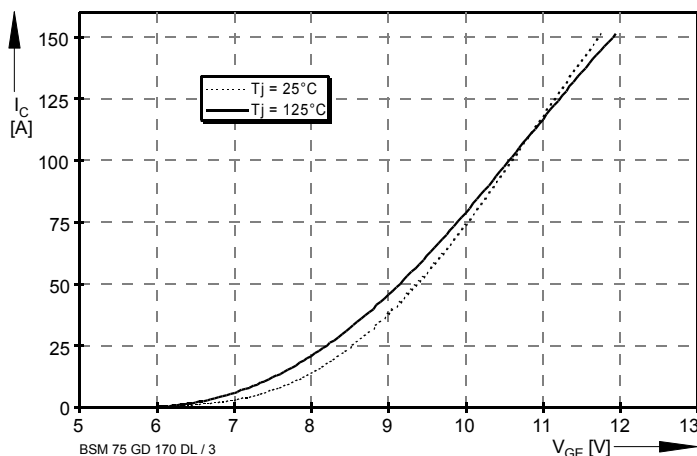


Bild / Fig. 3
Übertragungscharakteristik (typisch) /
Transfer characteristic (typical)
 $I_C = f(V_{GE})$
 $V_{CE} = 20V$

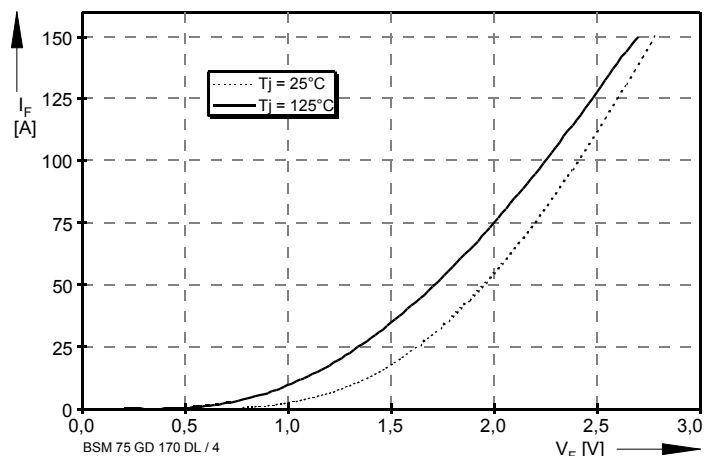


Bild / Fig. 4
Durchlaßkennlinie der Inversdiode (typisch) /
Forward characteristic of inverse diode (typical)
 $I_F = f(V_F)$

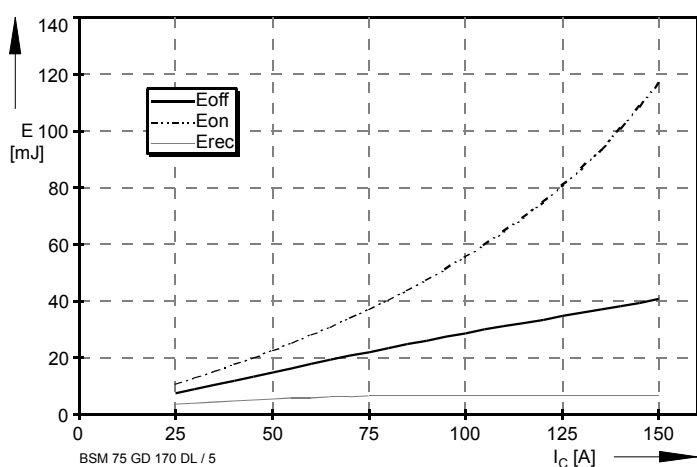


Bild / Fig. 5
Schaltverluste (typisch) /
Switching losses (typical)
 $E_{on} = f(I_C)$, $E_{off} = f(I_C)$, $E_{rec} = f(I_C)$
 $R_{gon} = R_{goff} = 20\Omega$, $V_{CE} = 900V$, $T_j = 125^{\circ}C$

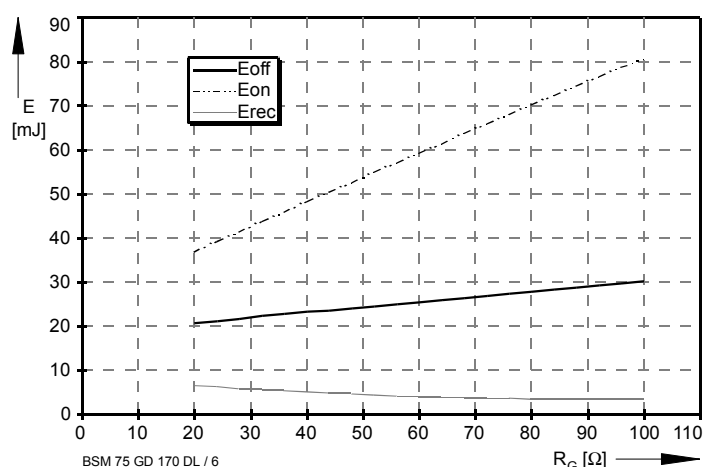


Bild / Fig. 6
Schaltverluste (typisch) /
Switching losses (typical)
 $E_{on} = f(R_G)$, $E_{off} = f(R_G)$, $E_{rec} = f(R_G)$
 $I_C = 75A$, $V_{CE} = 900V$, $T_j = 125^{\circ}C$

BSM 75 GD 170 DL

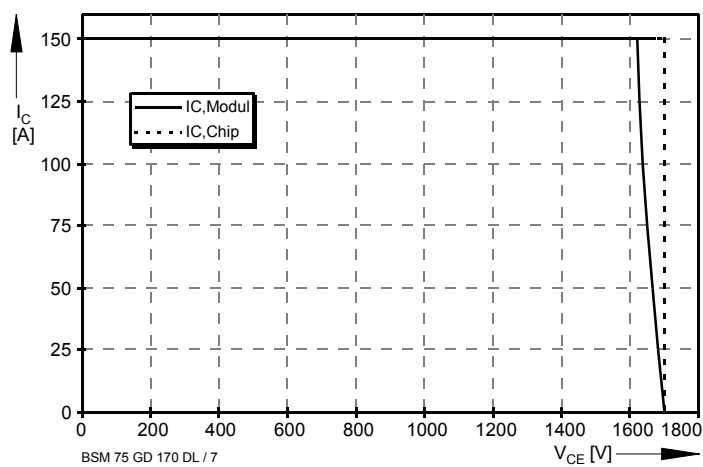


Bild / Fig. 7

Sicherer Arbeitsbereich (RBSOA) /
Reverse bias safe operation area (RBSOA)
 $R_g = 20\Omega$, $T_{vj} = 125^\circ\text{C}$